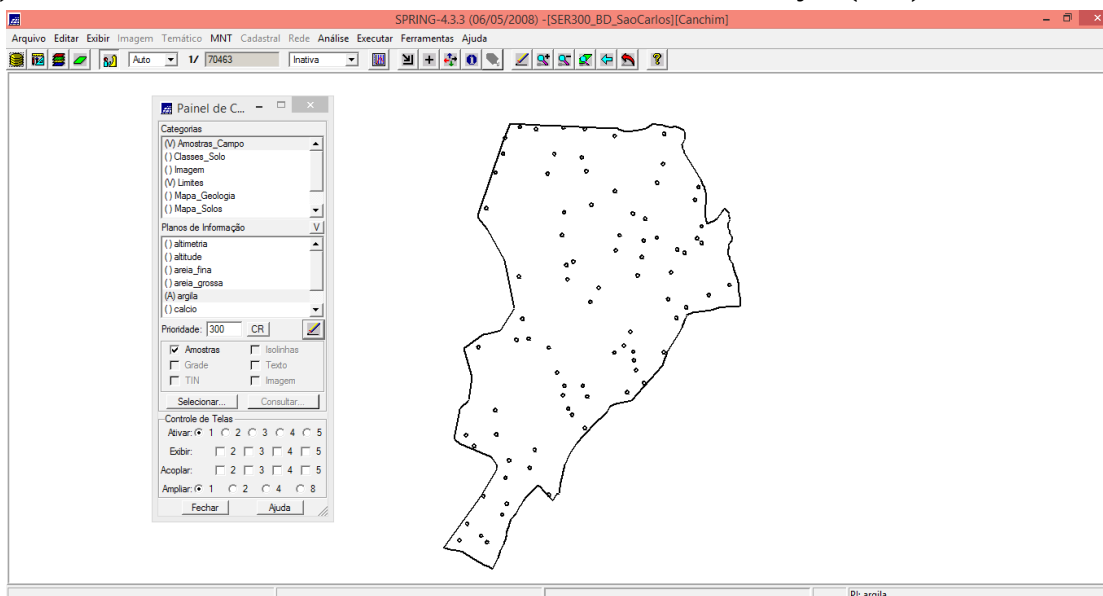


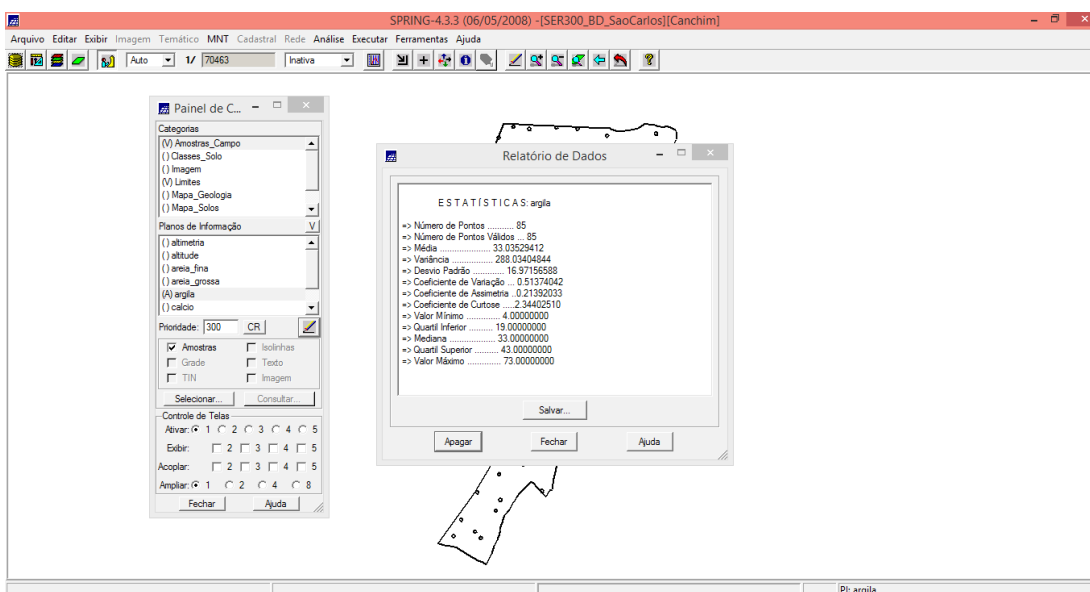
SER-300 – Introdução ao Geoprocessamento
Docente: Dr. Antonio Miguel Vieira Monteiro e Dr. Claudio Clemente Faria Barbosa
Aluna Ouvinte: Natália Cannizza Torres
Divisão de Sensoriamento Remoto – DSR
Instituto Nacional de Pesquisas Espaciais – INPE

Laboratório 5:

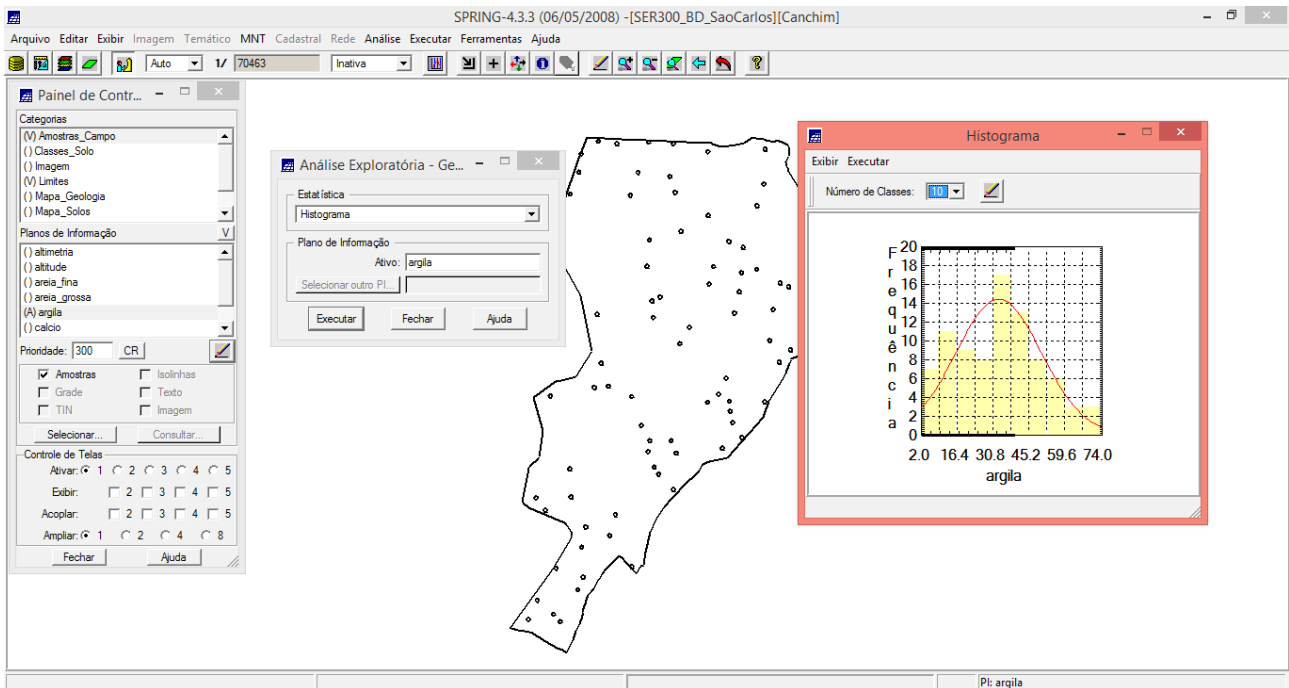
1) Ativar Painel de Controle e selecionar Planos de Informação (PI's) e visualizar o PI ativo:



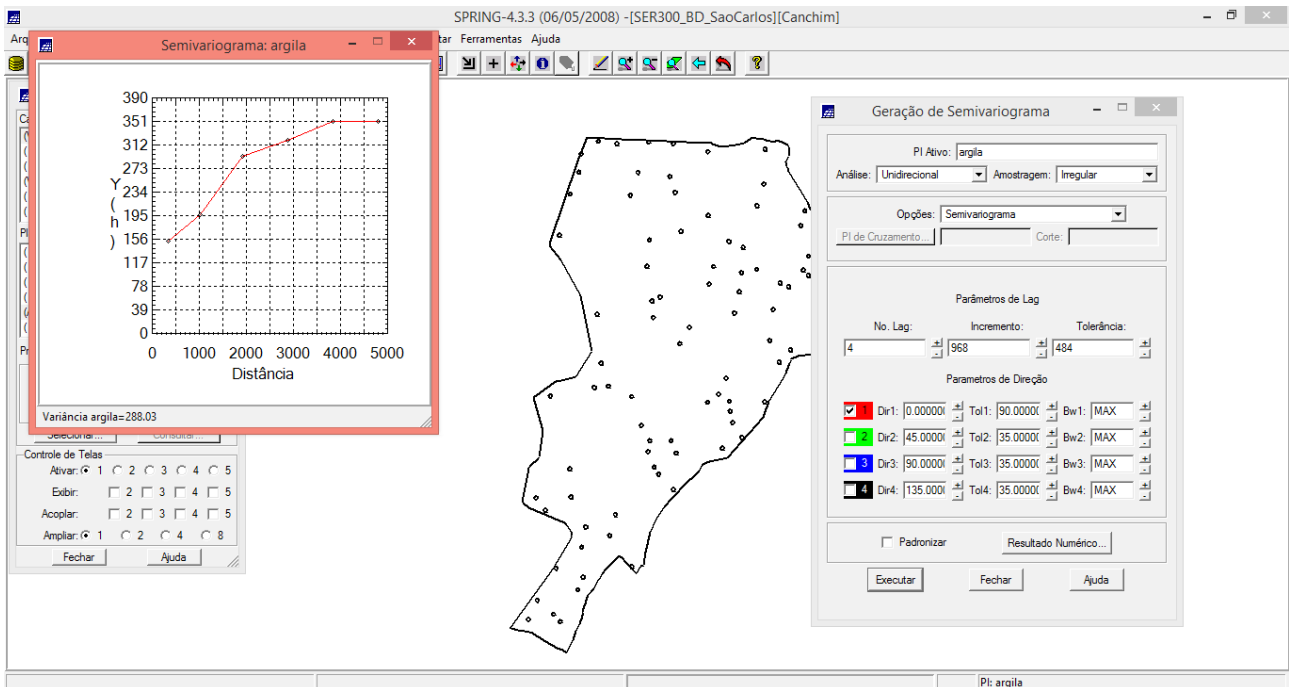
2) Executando estatísticas descritivas:



3) Executando histograma:



4) ANÁLISE DA VARIABILIDADE ESPACIAL POR SEMIVARIOGRAMA:



5) MODELAGEM DO SEMIVARIOGRAMA EXPERIMENTAL E DEFININDO PARÂMETROS DO MODELO ISOTRÓPICO

The screenshot shows the 'Parâmetros Estruturais' dialog box for a Gaussian model. The parameters are as follows:

- Número de Estruturas: 1
- Efeito Pepita: 145.434
- Primeira Estrutura:
 - Tipo: Gaussiano
 - Contribuição: 198.536
 - Ângulo Anis.: 0
 - Alcance Máx.: 3176.39
 - Alcance Min.: 3176.39
- Segunda Estrutura:
 - Tipo: Esférico
 - Contribuição: [empty]
 - Ângulo Anis.: [empty]
 - Alcance Máx.: [empty]
 - Alcance Min.: [empty]
- Terceira Estrutura:
 - Tipo: Esférico
 - Contribuição: [empty]
 - Ângulo Anis.: [empty]
 - Alcance Máx.: [empty]
 - Alcance Min.: [empty]

The 'Relatório de Dados' window shows the following data:

No.	Akalke	Efeito Pepita	Contribuição	Alcance
1	-39.929	145.434	198.536	2997.992
2	-41.704	143.649	204.116	3162.341
3	-41.713	143.743	204.454	3176.397

6) VALIDAÇÃO DO MODELO DE AJUSTE E DIAGRAMA ESPACIAL DO ERRO:

The screenshot shows the 'Validação do Modelo' dialog box with the following parameters:

- PI Ativo: argila
- Parâmetros de Interpolação:
 - Número de Pontos no Elipsóide de Busca: 4
 - Mínimo: 4
 - Máximo: 16
 - Elipsóide de Busca (Razão e Orientação): [empty]
 - R.Min.: 12206.5
 - R.Máx.: 12206.5
 - Ângulo: 0
- Resultados: Estatísticas do Erro

The 'Histograma do Erro' window shows a normal distribution curve with the following statistics:

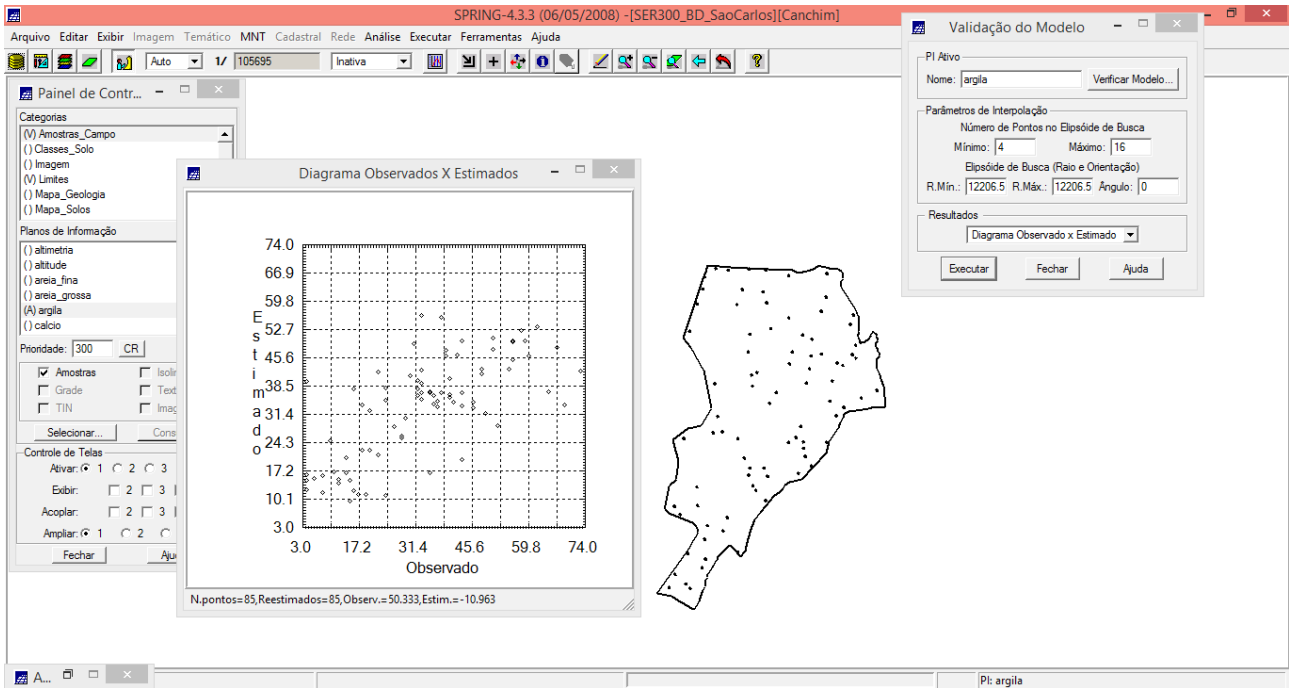
ESTATÍSTICAS DO ERRO	
=> Plano de Informação: argila	
=> Número de amostras	85
=> Média	-0.238
=> Variância	143.527
=> Desvio Padrão	11.980
=> Coeficiente de Variação	-50.413
=> Coeficiente de Assimetria	-0.265
=> Coeficiente de Curtose	3.938
=> Valor Mínimo	-35.343
=> Valor Máximo	35.472

The 'Distribuição espacial do erro' window shows a spatial plot of error points with the following coordinates:

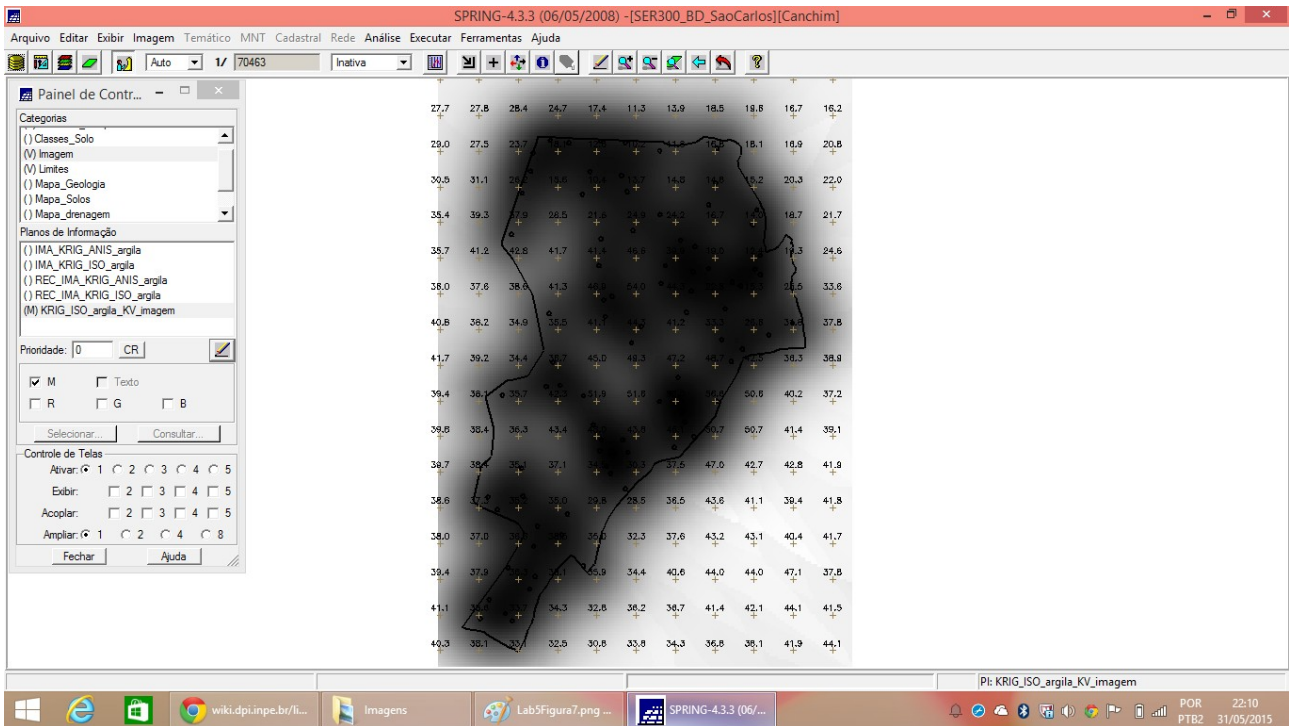
Localização X: 204704.0 205762.2 206820.4 207878.6 208936.8 209995.0

Localização Y: 7565871.0 7566679.4 7567487.8 7568296.2 7569104.6 7569913.0 7570721.4 7571529.8 7572338.2 7573146.6 7573955.0

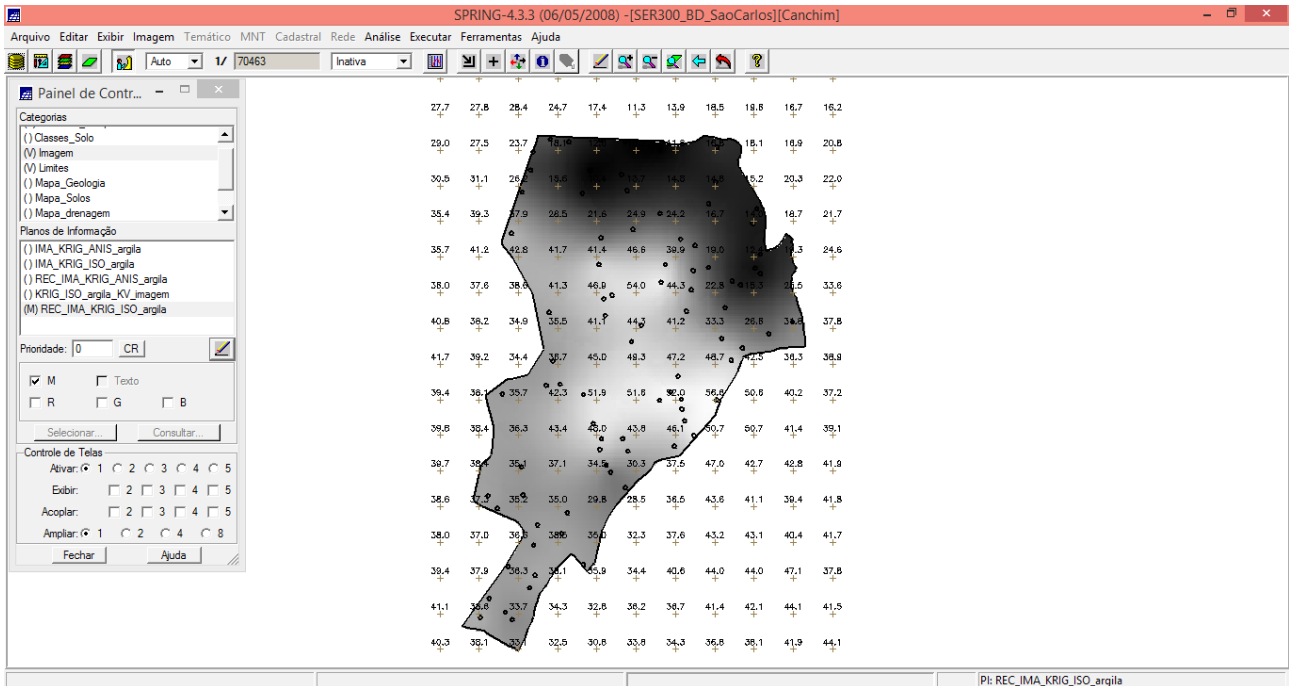
7) Diagrama de valores observados versus estimados:



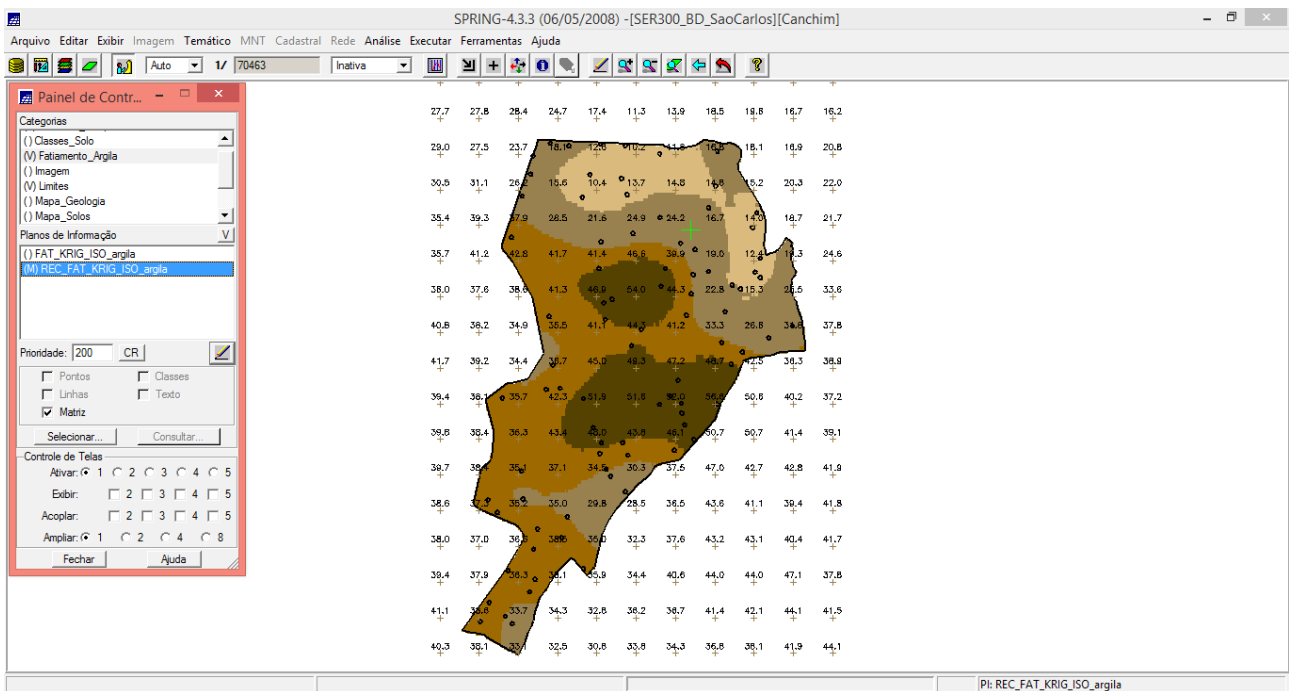
8) INTERPOLAÇÃO POR KRIGEAGEM ORDINÁRIA:



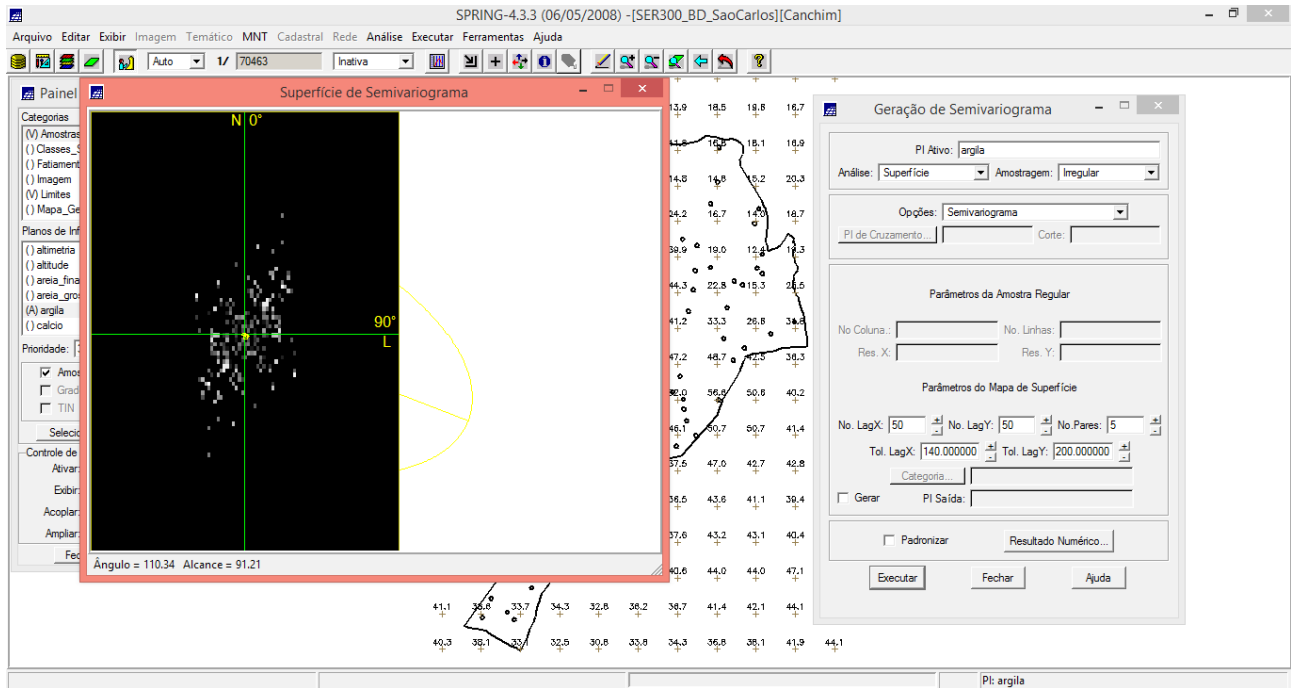
9) Executar recorte da imagem gerada utilizando LEGAL:



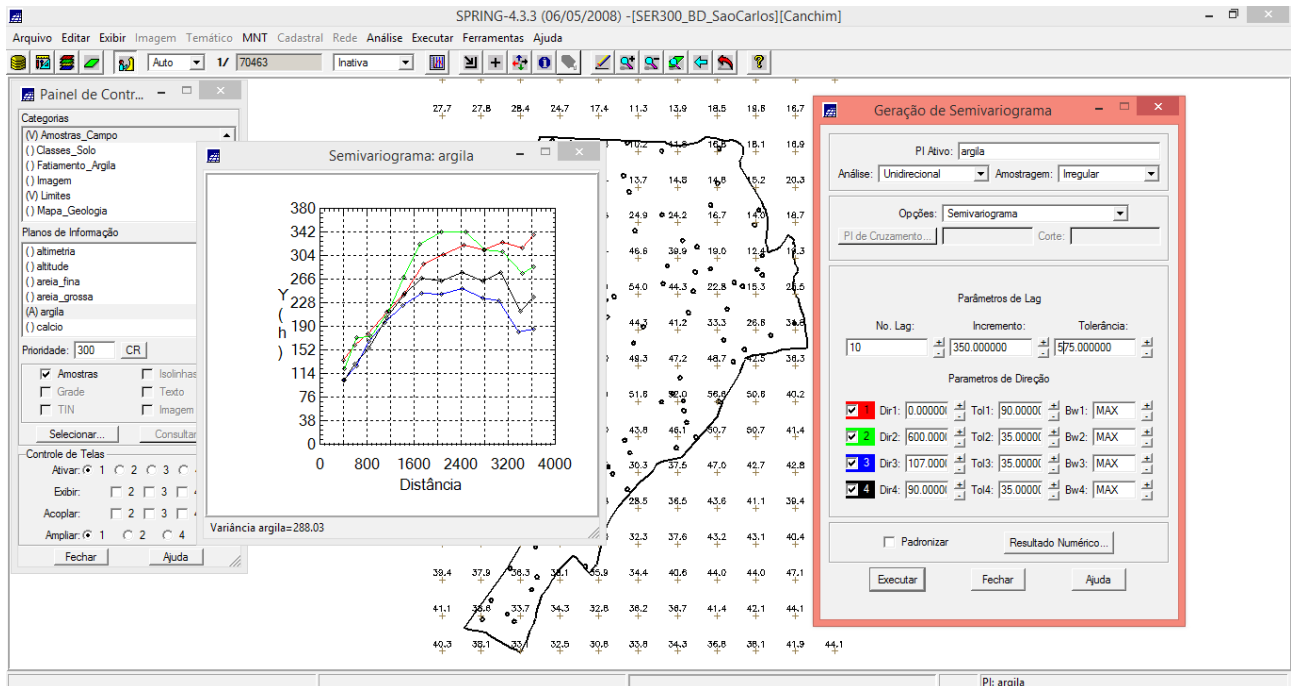
10) Executar Fatiamento e recorte da grade do teor de argila:



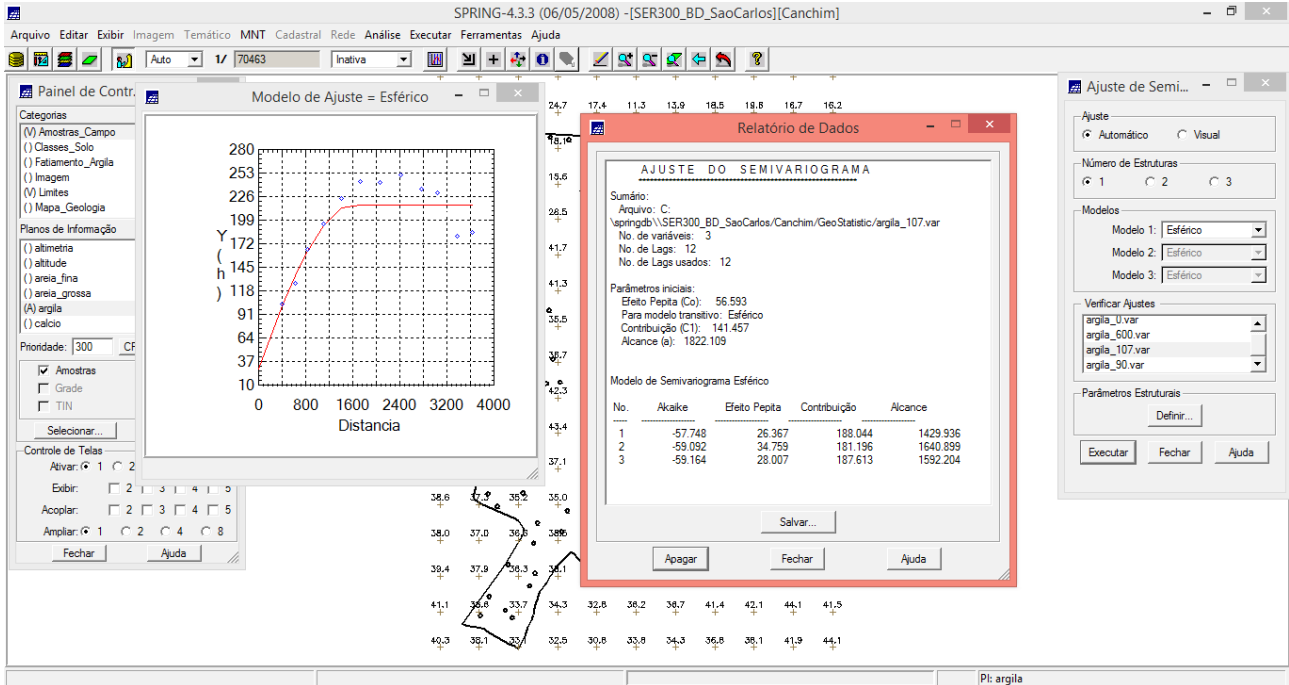
11) Detecção dos eixos de anisotropia:



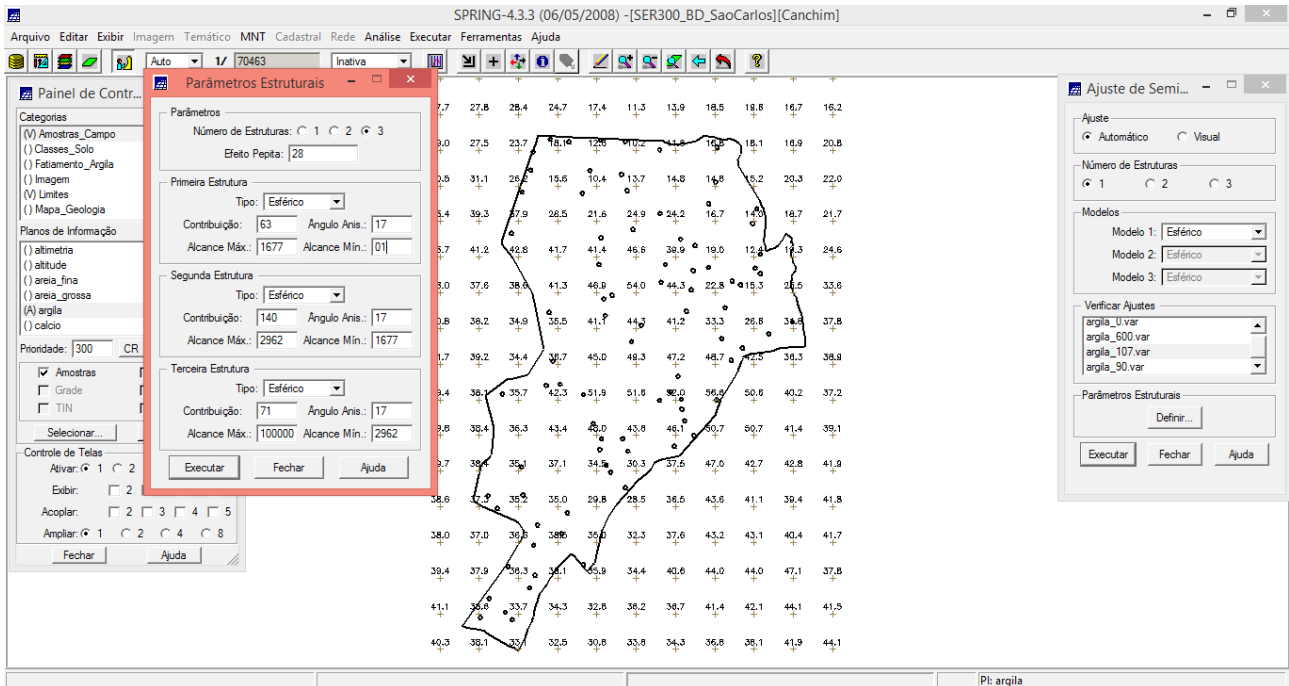
12) GERAÇÃO DOS SEMIVARIOGRAMAS DIRECIONAIS:



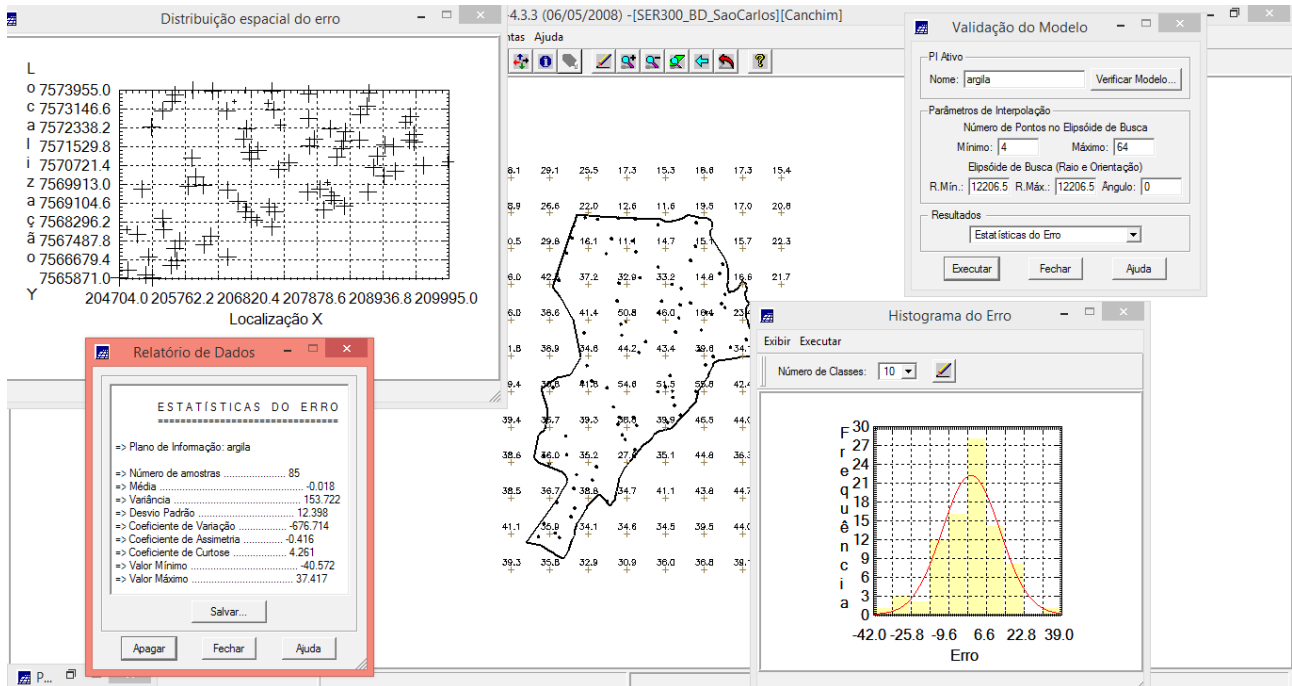
13) MODELAGEM DOS SEMIVARIOGRAMAS DIRECIONAIS:



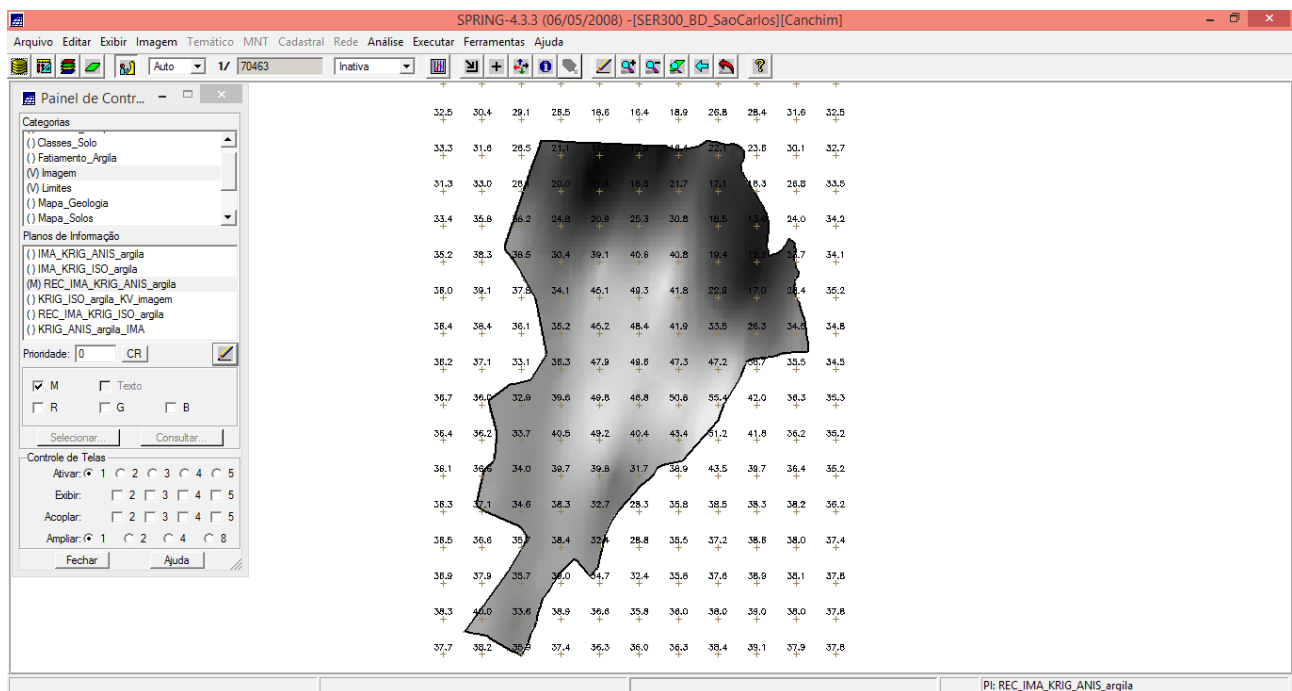
14) MODELAGEM DA ANISOTROPIA:



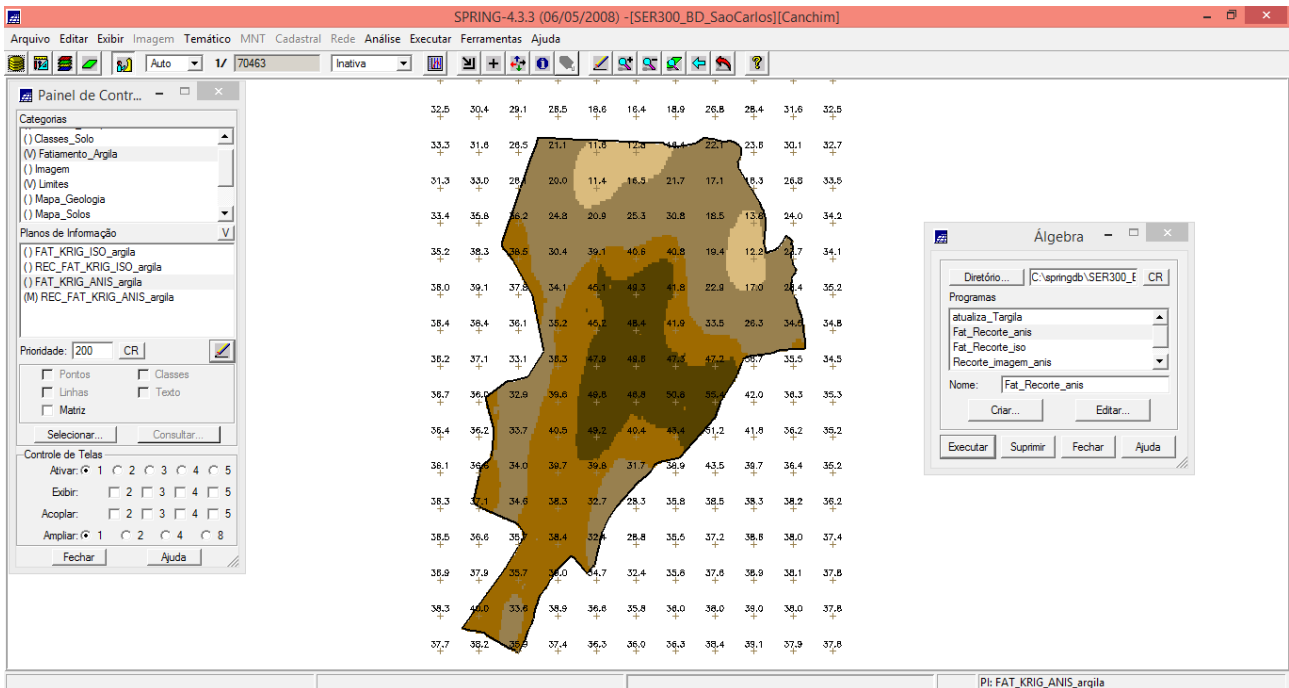
15) VALIDAÇÃO DO MODELO DE AJUSTE:



16) VISUALIZAÇÃO DA SUPERFÍCIE DE ARGILA ORIUNDA DO MODELO ANISOTRÓPICO:



17) Executar Fatiamento e recorte na grade de Krigeagem oriunda do modelo anisotrópico:



18) ANÁLISE DOS RESULTADOS:

